

2 Термические условия Дальневосточных морей

Японское море

В первую и вторую декады мая на ограниченных районах восточной части акватории наблюдались отрицательные температуры поверхности моря с величинами до $-1,8^{\circ}\text{C}$. Одновременно, в на западе, у пролива Цугару зарегистрированы положительные аномалии с величинами до $+1,8^{\circ}\text{C}$. В конце месяца, область положительных аномалий температуры поверхности моря, с величинами до $+2,6^{\circ}\text{C}$, занимали всю южную и юго-западную часть Японского моря. (рис. 2-1)

Охотское море

Для мая 2016 года характерно распределение температуры поверхности моря близкое к климатическому с незначительными отрицательными аномалиями в пределах от $-1,2^{\circ}\text{C}$ до $-0,1^{\circ}\text{C}$. (рис. 2-2)

Берингово море

На западной части акватории Берингова моря весь май распределение температуры поверхности моря характеризовалось незначительными, до $+1,0^{\circ}\text{C}$, положительными аномалиями. Восточная часть акватории Берингова моря, восточнее 175° з. д. была покрыта относительно теплыми водами, с величинами аномалий температуры поверхности моря до $+4,6^{\circ}\text{C}$ (рис. 2-3).

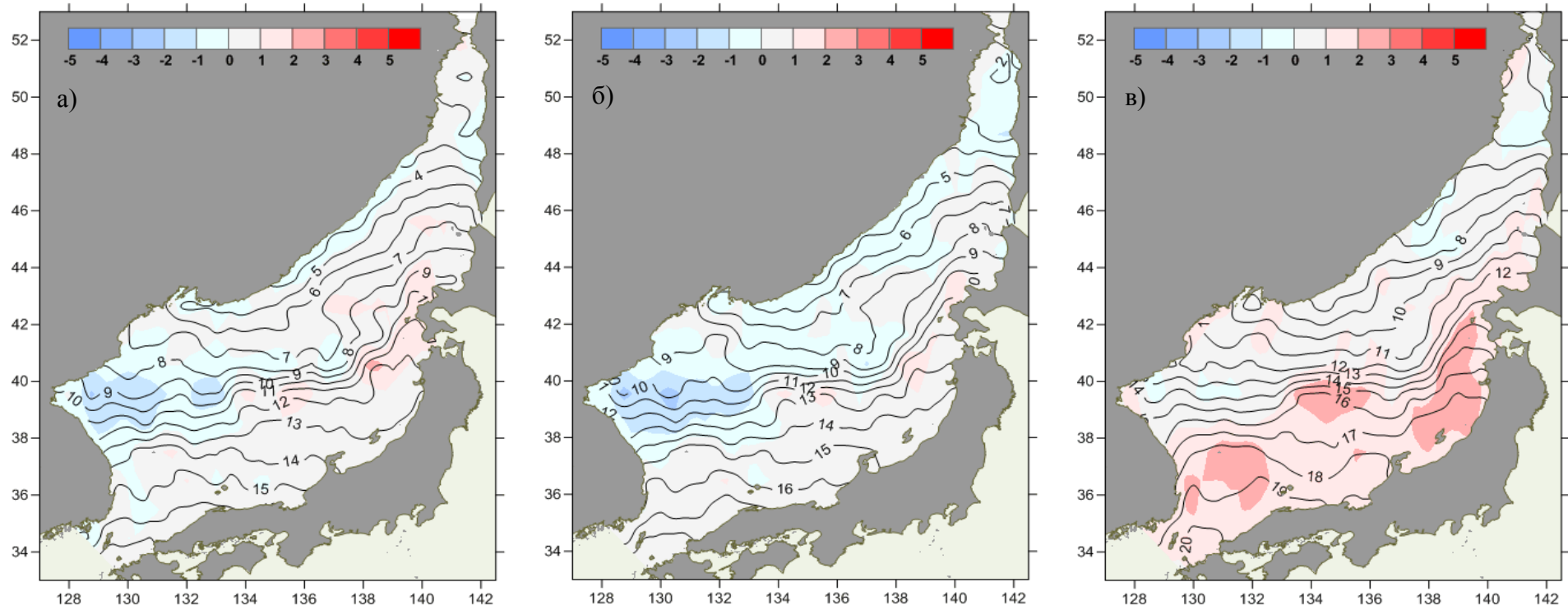


Рис. 2-1 Средняя декадная температура воды (изолинии) и её аномалия (изополосы), Японское море, декады мая: 1 – а, 2 – б, 3 – в

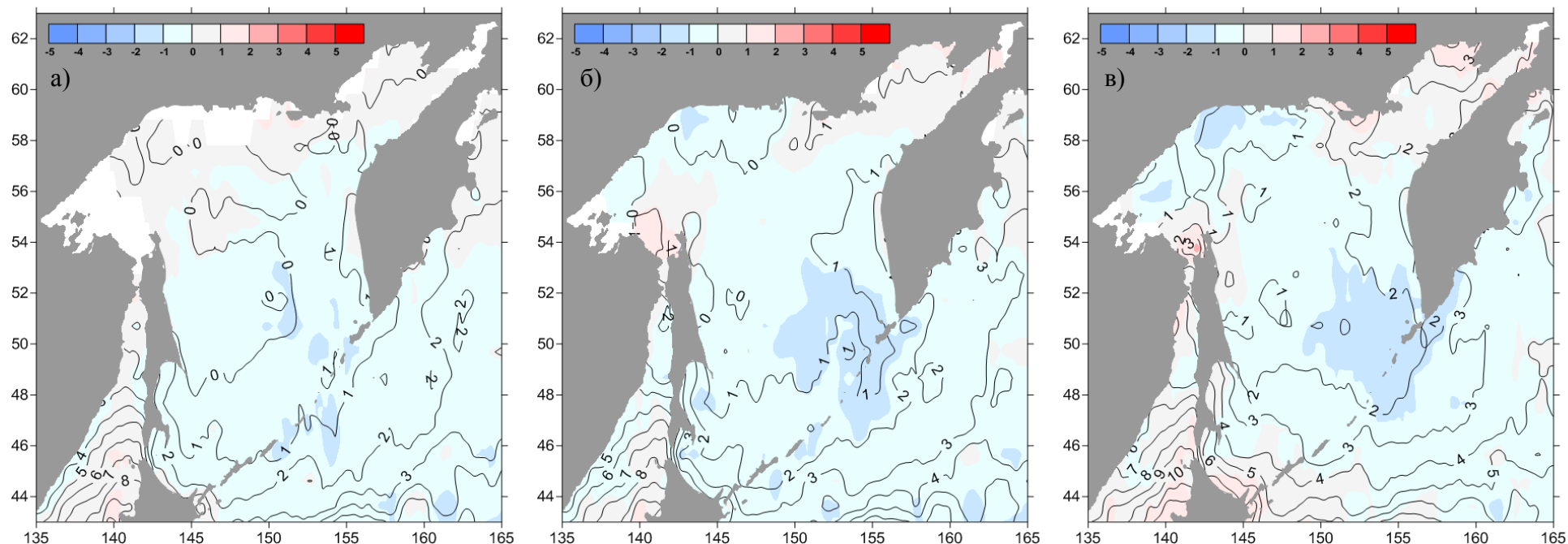


Рис. 2-2 Средняя декадная температура воды (изолинии) и её аномалия (изополосы), Охотское море, декады мая: 1 – а, 2 – б, 3 – в

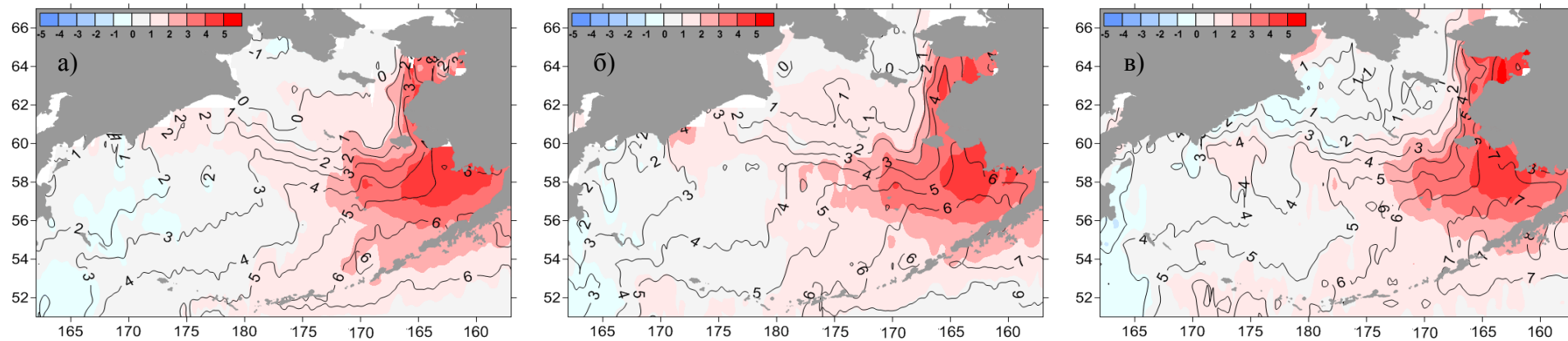


Рис. 2-3 Средняя декадная температура воды (изолинии) и её аномалия (изополосы), Берингово море, декады мая: 1 – а, 2 – б, 3 – в